

Soil dynamics (Response Spectrum)

Hasan Ghasemzadeh

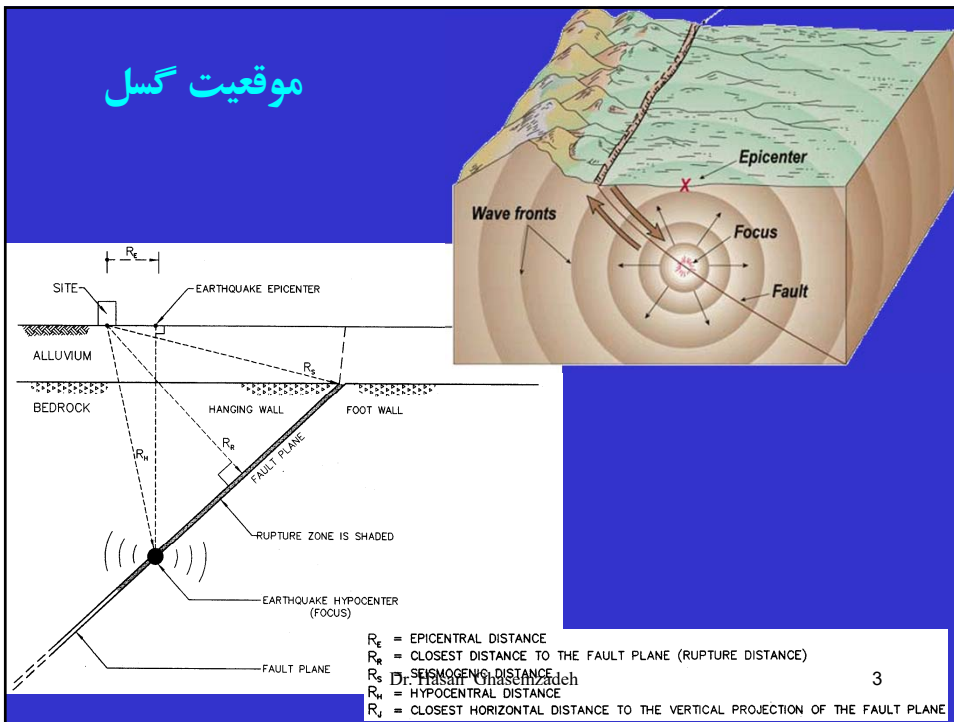
دسته بندی زلزله

CLASSIFICATION	DISTANCE
1) Teleseismic Earthquake	> 1000 km
2) Regional Earthquake	> 500 km
3) Local Earthquake	< 500 km

EARTHQUAKE CLASSIFICATION

MAGNITUDE	CLASSIFICATION	No./year
$M \geq 8.0$	Great	1
$7.0 \geq M < 8.0$	Major	20
$6.0 \geq M < 7.0$	Strong	100
$5.0 \geq M < 6.0$	Moderate	500
$4.0 \geq M < 5.0$	Light	30 000
$3.0 \geq M < 4.0$	Minor	900 000

2



شدت زلزله

European Macroseismic Scale
EMS-98

EMS intensity	Definition	Description of typical observed effects (abstracted)
I	Not felt	Not felt.
II	Scarcely felt	Felt only by very few individual people at rest in houses.
III	Weak	Felt indoors by a few people. People at rest feel a swaying or light trembling.
IV	Largely observed	Felt indoors by many people, outdoors by very few. A few people are awoken. Windows, doors and dishes rattle.
V	Strong	Felt indoors by most, outdoors by few. Many sleeping people awake. A few are frightened. Buildings tremble throughout. Hanging objects swing considerably. Small objects are shifted. Doors and windows swing open or shut.
VI	Slightly damaging	Many people are frightened and run outdoors. Some objects fall. Many houses suffer slight non-structural damage like hair-line cracks and fall of small pieces of plaster.
VII	Damaging	Most people are frightened and run outdoors. Furniture is shifted and objects fall from shelves in large numbers. Many well built ordinary buildings suffer moderate damage: small cracks in walls, fall of plaster, parts of chimneys fall down; older buildings may show large cracks in walls and failure of fill-in walls.
VIII	Heavily damaging	Many people find it difficult to stand. Many houses have large cracks in walls. A few well built ordinary buildings show serious failure of walls, while weak older structures may collapse.
IX	Destructive	General panic. Many weak constructions collapse. Even well built ordinary buildings show very heavy damage: serious failure of walls and partial structural failure.
X	Very destructive	Many ordinary well built buildings collapse.
XI	Devastating	Most ordinary well built buildings collapse, even some with good earthquake resistant design are destroyed.
XII	Completely devastating	Almost all buildings are destroyed. Dr. Hasan Ghasemzadeh

5

بزرگای زلزله

دستگاههای اندازه‌گیری زلزله امکان اندازه‌گیری کمیتی مشخص را که بزرگای زلزله نامیده می‌شود، فراهم می‌سازند. بزرگاً متناسب با انرژی آزاد شده در زلزله است

بزرگی مدت زلزله M_D

در این مقیاس بر اساس مدت کل زلزله بر حسب ثانیه، بزرگی محاسبه می‌شود.

$$M_D = 0.80 \log T^2 + 1.70 \log T - 0.87 \quad \text{Mandal et al., 2004}$$

$$M_D = 2.49 \log T - 2.31 + f \quad \text{Castello et al., 2007}$$

تابع اصلاح فاصله ایستگاه f

از این مقیاس بزرگی برای اندازه‌گیری سریع زلزله‌های کوچک $M <= 3$ استفاده فراوان می‌شود

Dr. Hasan Ghasemzadeh

6

بزرگای زلزله

بزرگی محلی ریشر M_L

بزرگی زلزله عبارتست از لگاریتم در پایه ۱۰ بزرگترین دامنه حرکت زمین (A) بر حسب میکرومتر که در فاصله صد کیلومتری از کانون زلزله که توسط دستگاه استاندارد مورد محاسبه قرار می‌گیرد و با حرف M نمایش داده می‌شود

$$M_L = \log A - \log A_0 (D)$$

A دامنه ثبت شده توسط دستگاه بر حسب میکرون

T پریود بر حسب ثانیه

A₀ تابع تجربی از فاصله مرکز سطحی زلزله D

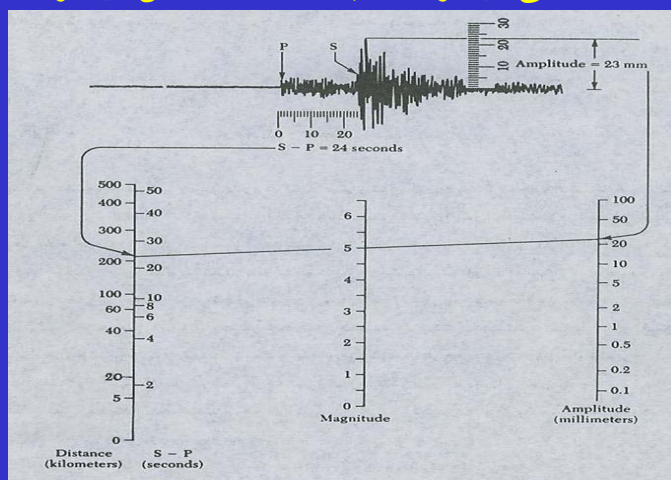
این مقیاس «بزرگا» برای زلزله‌های کم عمق محلی (فاصله تا مرکز سطحی زلزله کمتر از 600 کیلومتر) است.

Wood-Anderson 1935

7

بزرگای زلزله

محاسبه بزرگای محلی ریشر M_L با استفاده از روش ریکتر



Dr. Hasan Ghasemzadeh

8

بزرگای زلزله

اشباع شدن

با اینکه انرژی کل آزاد شده هنگام زلزله افزایش می‌یابد اما خصوصیات لرزه‌ای لزوماً با همان سرعت افزایش نمی‌یابد.
برای زلزله‌های قوی، خصوصیات اندازه‌گیری شده لرزش زمین از حساسیت کمتری نسبت به زلزله‌های کوچک برحوردار است.

بزرگای محلی ریشتر در درجه 6 تا 7 اشباع می‌شوند.

Dr. Hasan Ghasemzadeh

9

بزرگای زلزله

بزرگای موج سطحی M_s

بزرگای محلی ریشتر هیچگونه تفاوتی بین انواع مختلف امواج قائل نمی‌شود. بدین جهت مقیاسهای دیگری که بزرگاً را برپایه دامنه یک موج مشخص، تعیین می‌نمایند نیز تدوین شده‌اند.
در فواصل بزرگ از مرکز سطحی زلزله، حرکات غالب از امواج سطحی حاصل می‌گردند.

$$M_s = \log (A/T) + 1.66 \log D + 3.3$$

A دامنه بر حسب میکرون

T پریود بر حسب ثانیه

D فاصله بین مرکز زلزله و ایستگاه

بزرگای موج سطحی در حدود $M_s = 8$ اشباع می‌شوند.

periods between 18 and 22 seconds (wavelength of about 60 km)

Dr. Hasan Ghasemzadeh

10

(گوتنبرگ و ریشتر، 1936)

بزرگای زلزله

بزرگای موج حجمی M_b

برای زلزله‌های با کانون عمیق، امواج سطحی، اغلب کوچکتر از آن هستند که امکان ارزیابی قابل اطمینان بزرگای موج سطحی موجود باشد.

بزرگای موج حجمی یک مقیاس بر پایه ترکیب امواج فشاری و برشی می‌باشد.

$$m_b = \log (A/T) - f(D, h)$$

A دامنه بر حسب میکرون

T پریود بر حسب ثانیه

D فاصله بین مرکز و ایستگاه

h عمق کانون

fتابع اصلاح فاصله ایستگاه

periods between 1 and 10 seconds

(گوتبرگ 1945)

بزرگای موج حجمی در درجه ۶ تا ۷ ایجاد می‌شود

Dr. Hasan Ghasemzadeh

بزرگای زلزله

Moment Magnitude (M_w)

بزرگای گشتاور M_w

برای بیان اندازه زلزله‌های بسیار بزرگ (زلزله‌هایی با گسل‌های هزار کیلومتری که دارای امواج با پریود بیش از ۲۰۰ ثانیه نیز می‌باشند) یک مقیاس بزرگا که به ترازهای لرزش زمین بستگی نداشته و در نتیجه بحث اشباع شدن در آن مطرح نیست، مطلوب می‌باشد.

تنها مقیاس بزرگا که در معرض اشباع شدن نیست «بزرگای گشتاور» می‌باشد، زیرا بر پایه گشتاور زلزله می‌باشد که یک معیار مستقیم از عوامل ایجاد گسینشگی در امتداد گسل است.

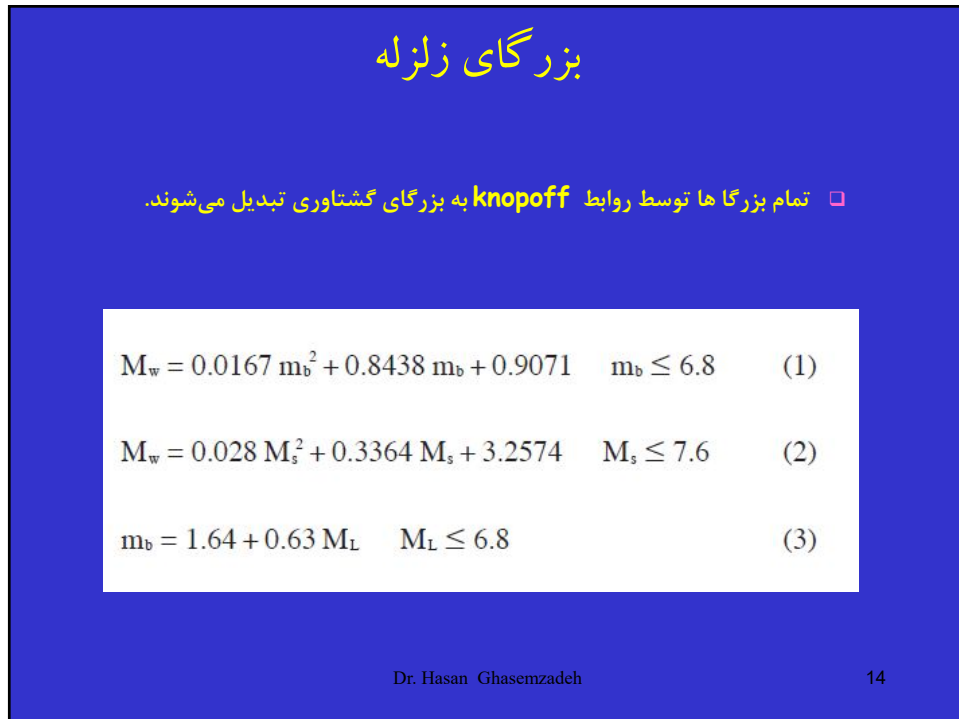
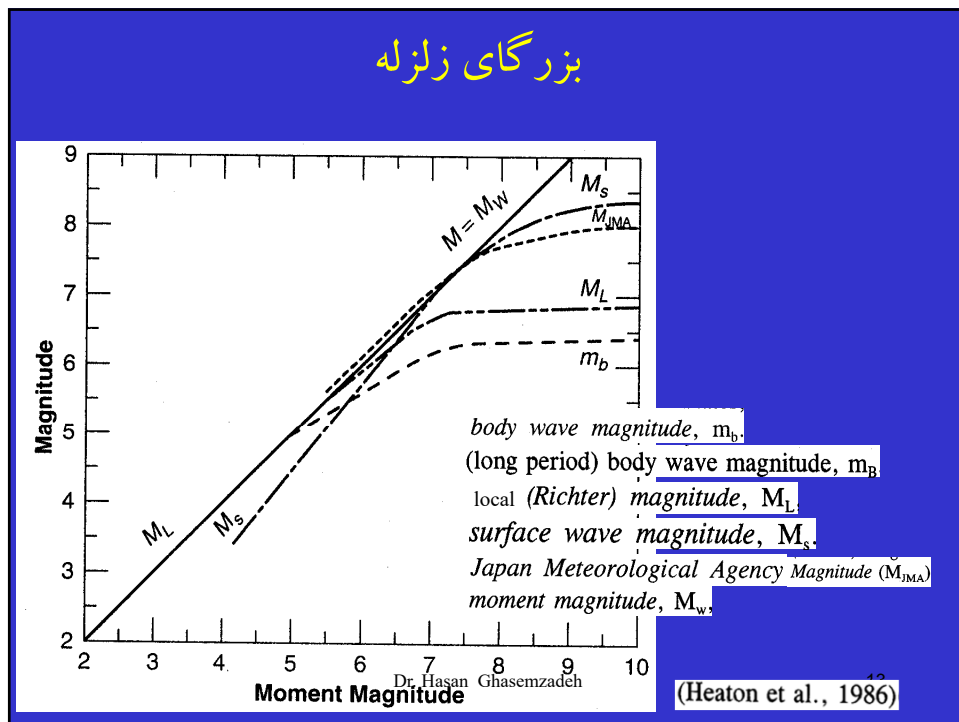
$$M_w = 2/3 \log M_o - 10.7$$

$$M_o = \mu A \Delta u$$

گشتاور زلزله برابر با حاصلضرب مدول برش سنگ در سطح گسینشگی گسل در متوسط جابجایی است

Dr. Hasan Ghasemzadeh
(Kanamori 1977 , Kanamori , Hanks 1979)

dyne.cm ($10^{-7} \text{ N}\cdot\text{m}$)¹²



شعاع و زمان موثر

روابط knopoff & gardner-1974-decluster شعاع موثر و زمان موثر
زلزله های مستقل را می دهد

$$L = 10^{(0.1238M + 0.983)}$$

$$T = 10^{(0.032M + 2.7389)} / 365 \text{ for } M \geq 6.5$$

$$T = 10^{(0.5409M - 0.547)} / 365 \text{ for } M < 6.5$$

The magnitude-dependent space and time windows
of the Gardner-Knopoff declustering

Magnitude	Radius [km]	Time [days]
3	22.5	11.5
4	30	42
5	40	155
6	50	510
7	70	915
8	94	985

Dr. Hasan Ghasemzadeh

15

انرژی زلزله

$$\log_{10}^E = 11.5 + 1.5M_S \quad \text{بر حسب ارگک}$$

یک ارگک برابر 10^{-7} ژول می باشد

$$M = 5 \Rightarrow E = 10^{19}$$

$$M = 6 \Rightarrow E = 10^{20.5}$$

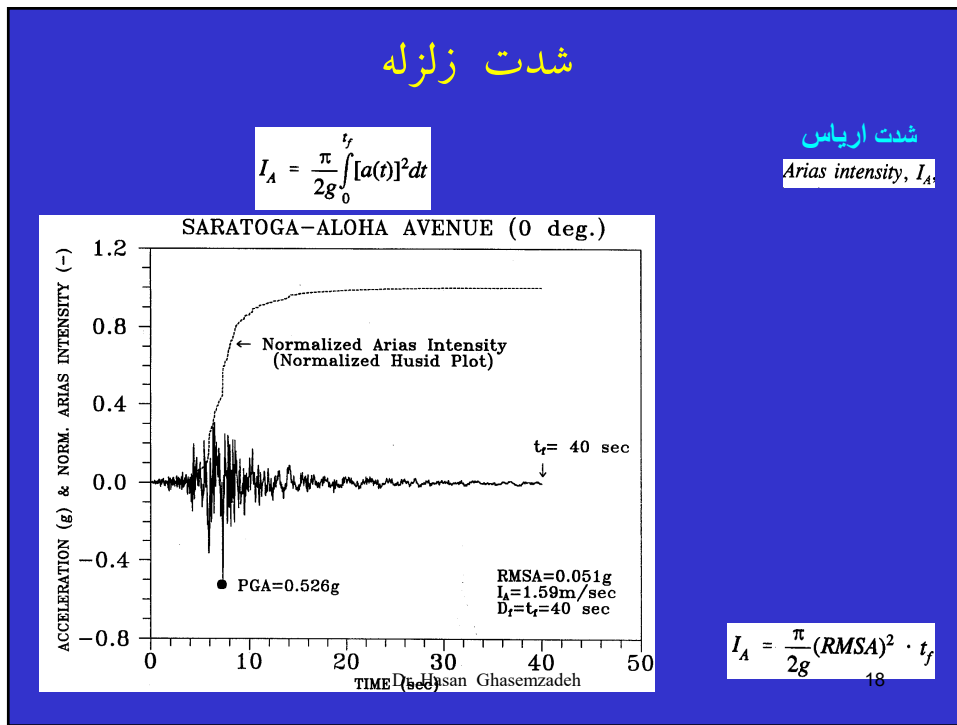
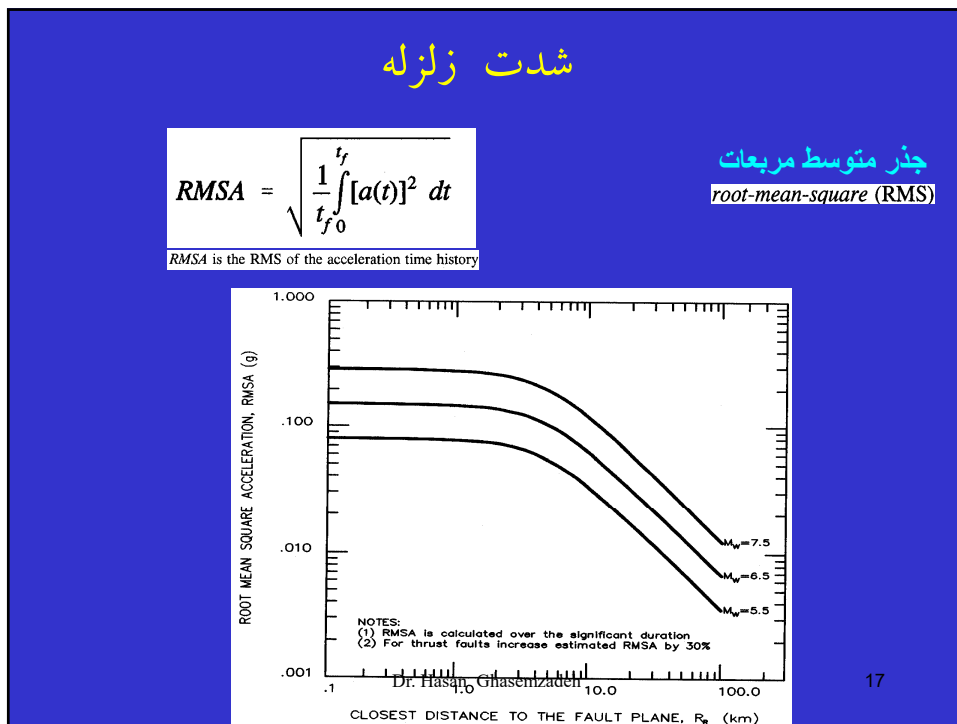
مقدار انرژی حدود سی و دو برابر می شود

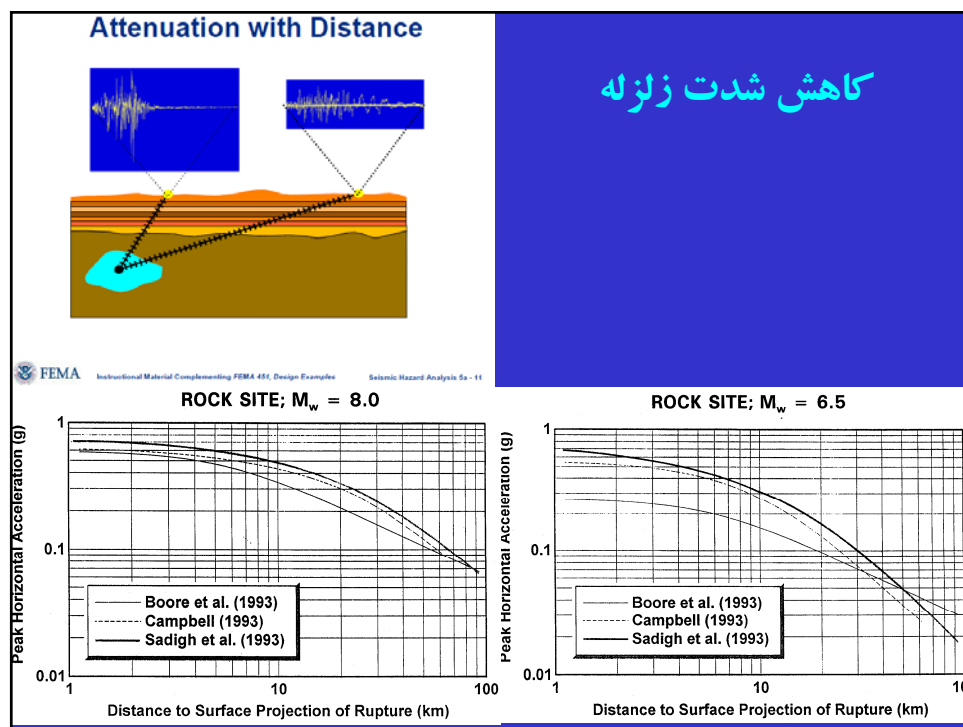
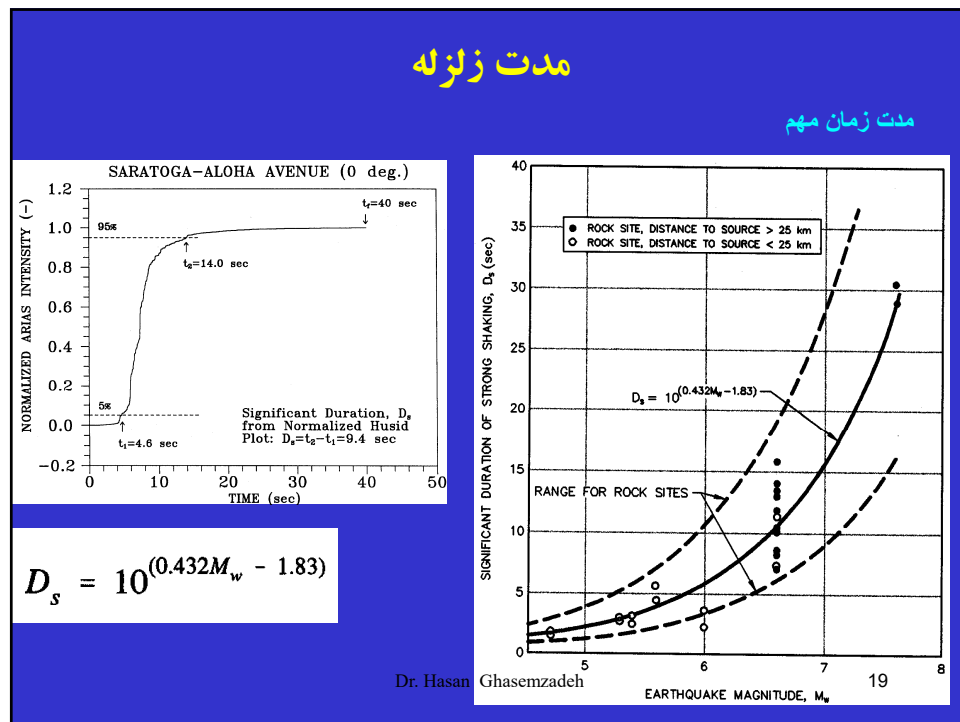
$$\log E = 12 + 1.8 M_L$$

$$\log E = 5.8 + 2.4 m_b$$

Dr. Hasan Ghasemzadeh

16





رابطه کاہندگی

Table 2. Attenuation relationship for subduction zone earthquakes.

Reference	Attenuation Relationship	Limitation ⁽¹⁾
Youngs et al. (1988)	$\ln(\text{PGA}) = 19.16 + 1.045M_w - 4.738 \ln[R_H + 205.5 \exp(0.0968M_w)] + 0.54Z_t$	$20 < R_H \leq 40 \text{ km}$ $M_w \leq 8$
Youngs et al. (1988)	$\ln(\text{PGA}) = 19.16 + 1.045M_w - 4.738 \ln[R_H + 154.7 \exp(0.1323M_w)]$	$20 < R_H \leq 40 \text{ km}$ $M_w > 8$
Cohee et al. (1991)	$\ln(\text{PGA}) = 1.5 - 3.33 \ln(R_s + 128) + 0.79s$	$25 < R_s < 175 \text{ km}$ $M_w \leq 8$
Cohee et al. (1991)	$\ln(\text{PGA}) = 2.8 - 1.26 \ln(R_s) + 0.79s$	$30 < R_s < 100 \text{ km}$ $M_w > 8$

Notes: M_w = Moment magnitude.
 R_H = Hypocentral distance.
 R_s = Closest distance to the rupture zone (fault plane).
 R_s = Seismogenic distance (closest distance from the fault asperity).
 Z_t = The tectonics term in Youngs et al. (1988). Equal to 0 for interplate events, and 1 for intraplate events.
 s = The site term in Cohee et al. (1991) relationship. Equal to 0 for rock sites and 1 for soil sites.
⁽¹⁾ = Refer to the original references for detailed description of distance measures and limitations.

رابطه کاہندگی

$$\text{Log (PGA)} = aM_w + bX - d\text{Log (X)} + C_iS_i + \sigma$$

زارع و همکاران 1999

Hypocentral Distance: $X = \sqrt{R^2 + H^2}$ H: Focal Depth = 20 km

Soil Class: (C_1 : Rock, C_2 : Hard alluvium, C_3 : Soft alluvium, C_4 : Soft Soil)

For Class j : $S_{i=j} = 1$ & For other classes $S_i = 0$

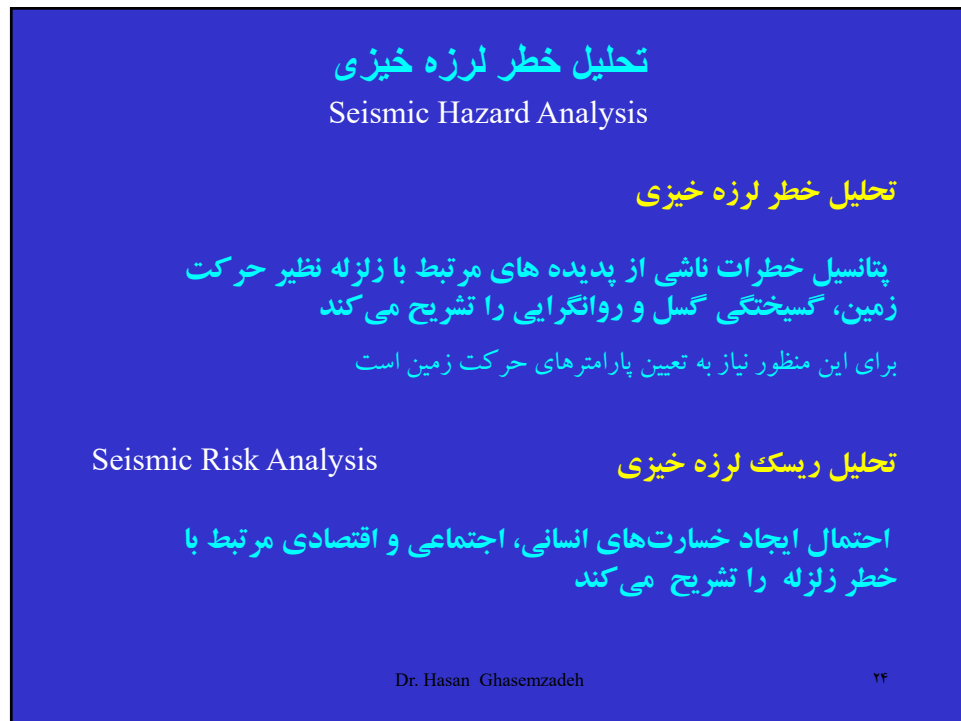
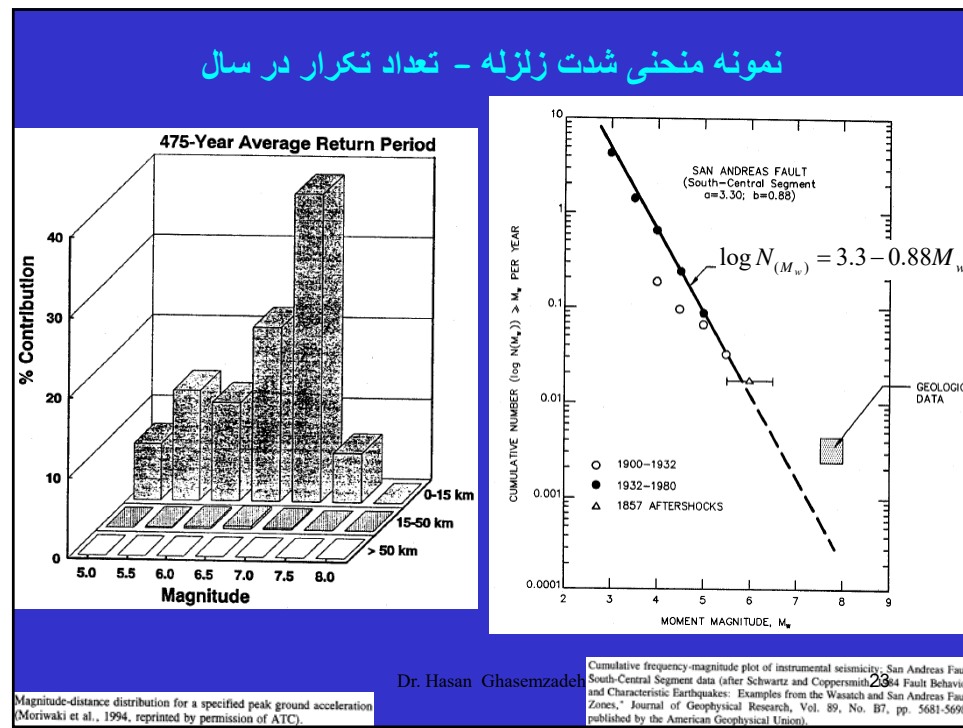
Region	a	b	d	Site Class				σ
				C_1	C_2	C_3	C_4	
Alborz (Ver.)	0.322	-0.0003	1	-0.828	-0.754	-0.971	-0.788	0.352
Alborz (Hor.)	0.322	-0.0004	1	-0.688	-0.458	-0.72	-0.585	0.349
Zagros (Ver.)	0.406	-0.0038	1	-1.262	-1.333	-1.23	-1.77	0.356
Zagros (Hor.)	0.399	-0.0019	1	-1.047	-1.065	-1.02	-0.975	0.329
Iran (Ver.)	0.362	-0.0002	1	-1.124	-1.15	-1.139	-1.064	0.336
Iran (Hor.)	0.36	-0.0003	1	-0.916	-0.852	-0.9	-0.859	0.333

كمپل و بزرگنما 2003

$$\ln(\text{PGA}) = c_1 + f_1(M_w) + c_4 \ln \sqrt{f_2(M_w, r_{seis}, S) + f_3(F) + f_4(S) + f_5(HW, F, M_w, r_{seis})} + \epsilon$$

امبرسیز و داکلنس 2005

$$\text{Log}(a_h) = a_1 + a_2 M_w + (a_3 + a_4 M_w) \text{Log} \sqrt{d^2 + a_5^2} + a_6 S_s + a_7 S_A + a_8 F_N + a_9 F_o$$



تحلیل خطر لرزه خیزی

Seismic Hazard Analysis

- تعیین منابع مولد حرکت های بزرگ در سایت پروژه

- بازدید از سایت
- عکس های هوایی، مادون قرمز و رنگی
- تعیین محل گسل ها

- تعیین پتانسیل لرزه هر منبع

- در صورت وجود گسل فعال (گسل دارای حرکت در دوره هالوسن - حدود ۱۱۰۰۰ سال گذشته) نیاز به مطالعات جزئی ترمی باشد مثل
- تعیین گسل های محتمل با استفاده از روشهای ژئوفیزیکی - روش انکسار و انعکاس موج و ..
- حفر تراشه و گمانه های قائم و افقی روی گسل های محتمل جهت تدقیق و تعیین سن لایه ها
- کنترل لرزه های ثبت شده در محل

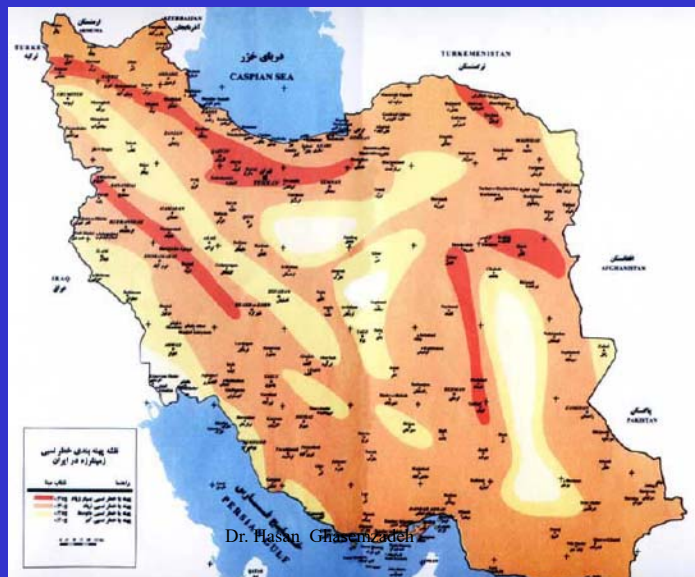
- تعیین شدت حرکت زمین در سایت پروژه

- استاندارد های تدوین شده
- روشهای قطعی تحلیل خطر لرزه خیزی
- روشهای اختلالی تحلیل خطر لرزه خیزی

Dr. Hasan Ghasemzadeh

تحلیل خطر لرزه پذیری

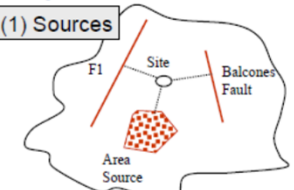
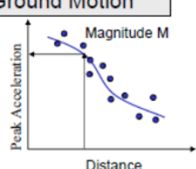
- استاندارد های تدوین شده



تحلیل خطر لرزه خیزی

Deterministic Seismic Hazard Analysis(DSHA)

Steps in Deterministic Seismic Hazard Analysis

(1) Sources 	(2) Controlling Earthquake Fixed distance R Fixed magnitude M
(3) Ground Motion 	(4) Hazard at Site <p>"The earthquake hazard for the site is a peak ground acceleration of 0.35 g resulting from an earthquake of magnitude 6.0 on the Balcones Fault at a distance of 12 miles from the site."</p>

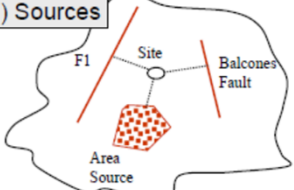
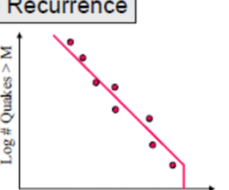
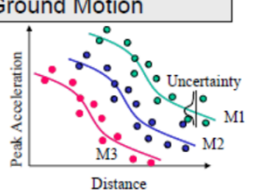
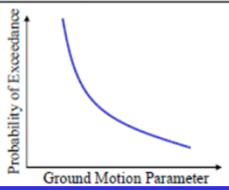
Wells & Coppersmith Dr. Hasan Ghasemzadeh

مزایا
- محاسبات ساده است
- نتایج محافظه کارانه است
معایب
- ممکن است کلیه گسل ها در نظر گرفته نشوند (گسل های پنهان)
- نتایج محافظه کارانه است

تحلیل خطر لرزه خیزی

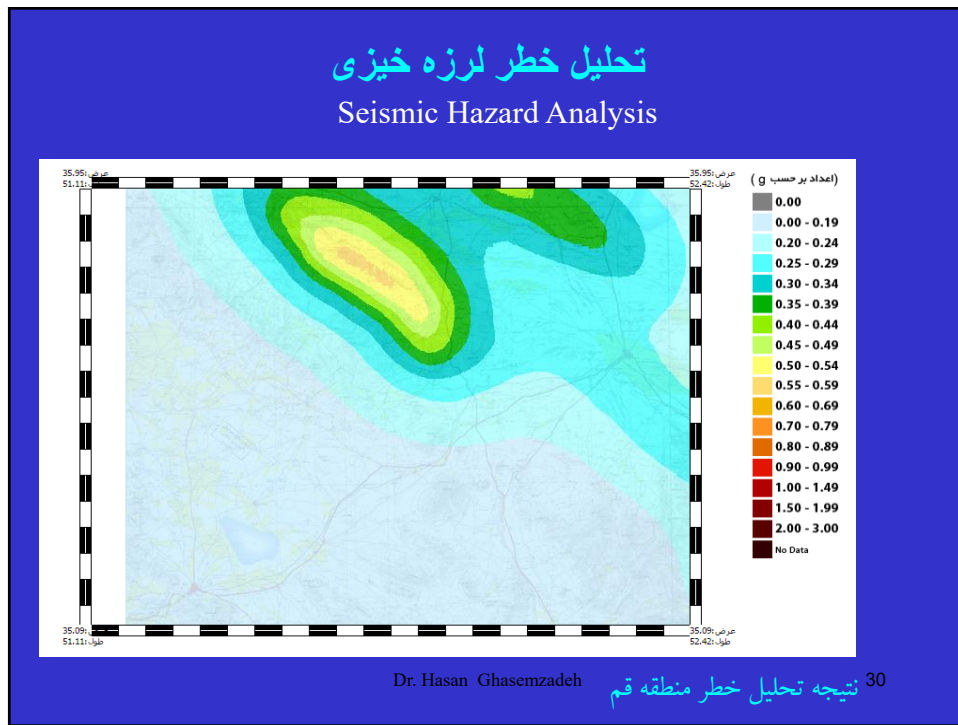
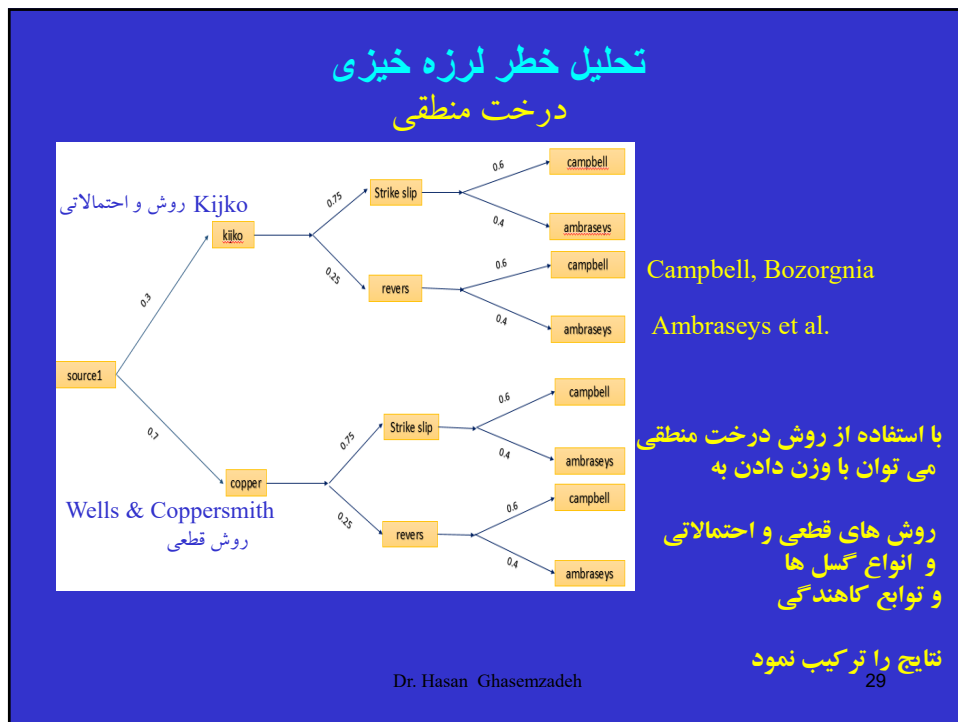
Probabilistic Seismic Hazard Analysis(PSHA)

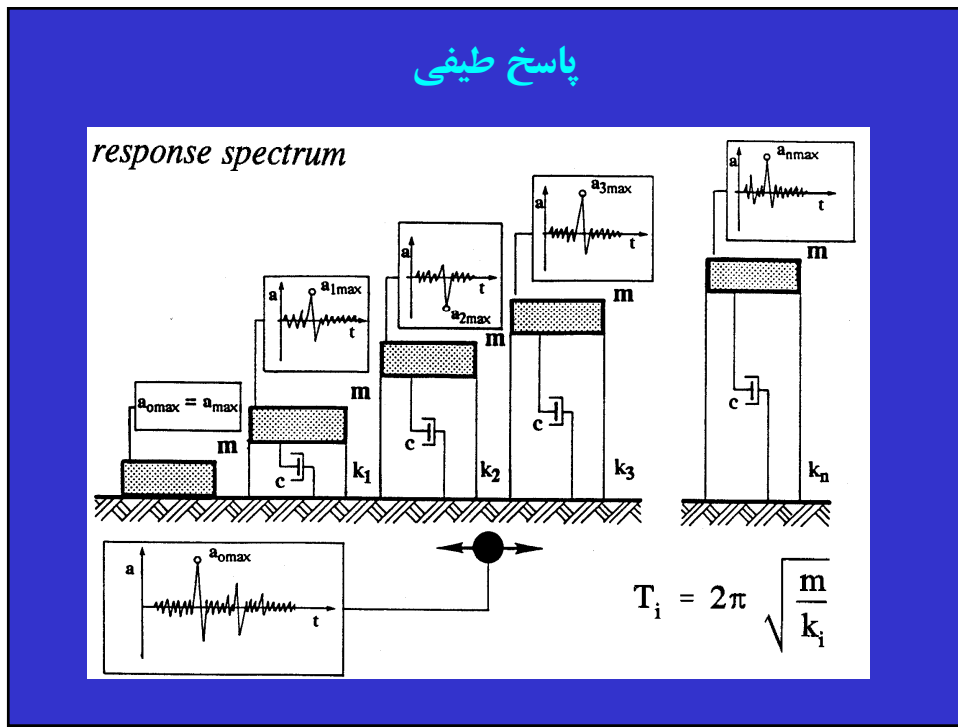
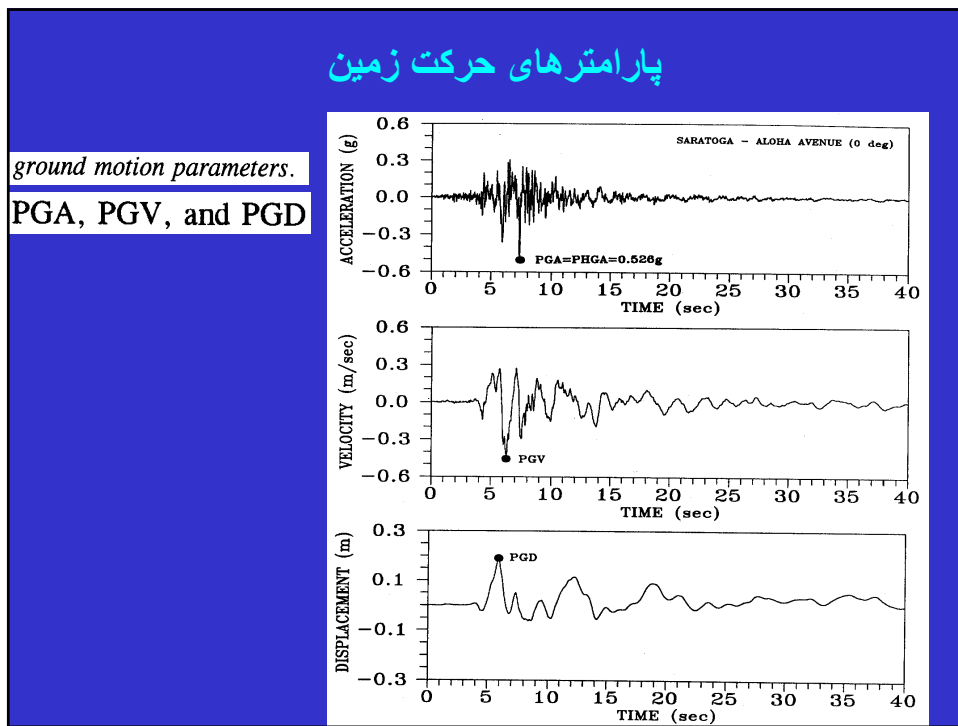
Steps in Probabilistic Seismic Hazard Analysis

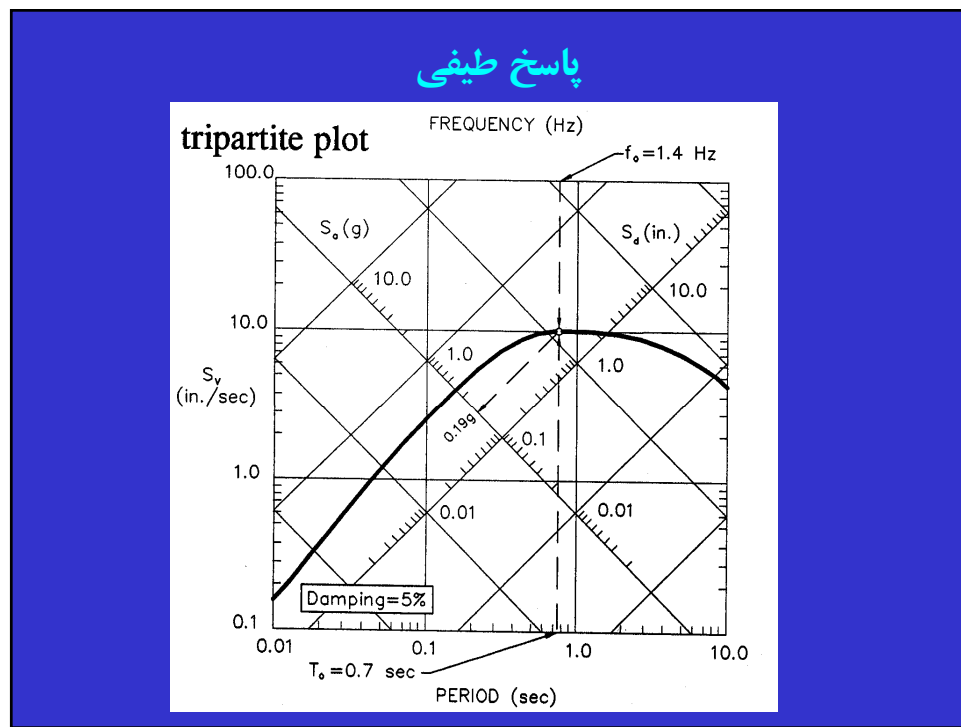
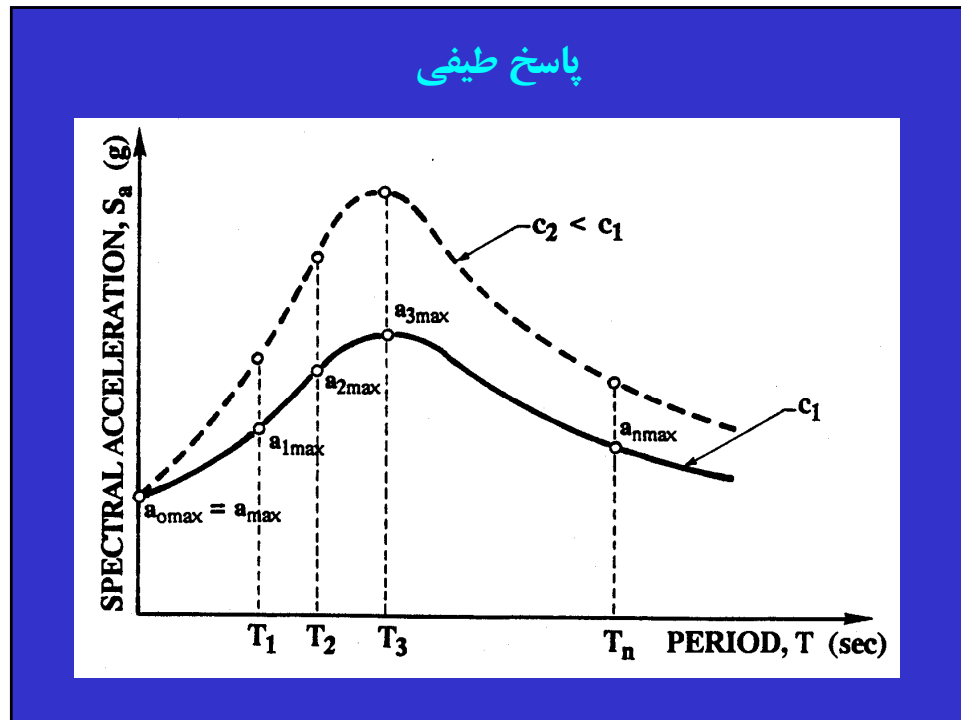
(1) Sources 	(2) Recurrence 
(3) Ground Motion 	(4) Probability of Exceedance 

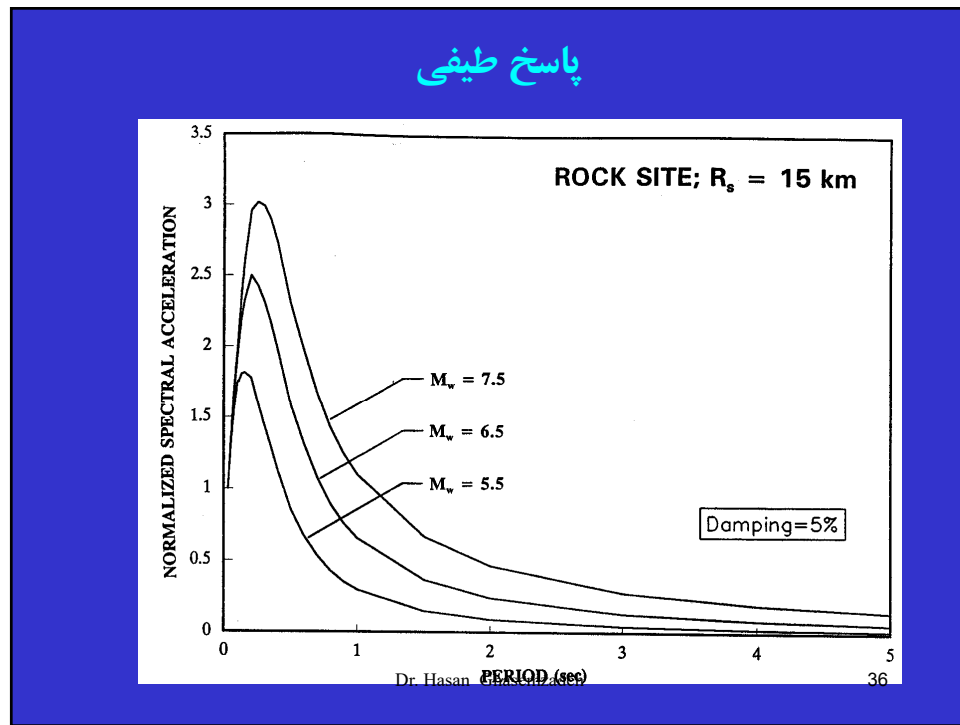
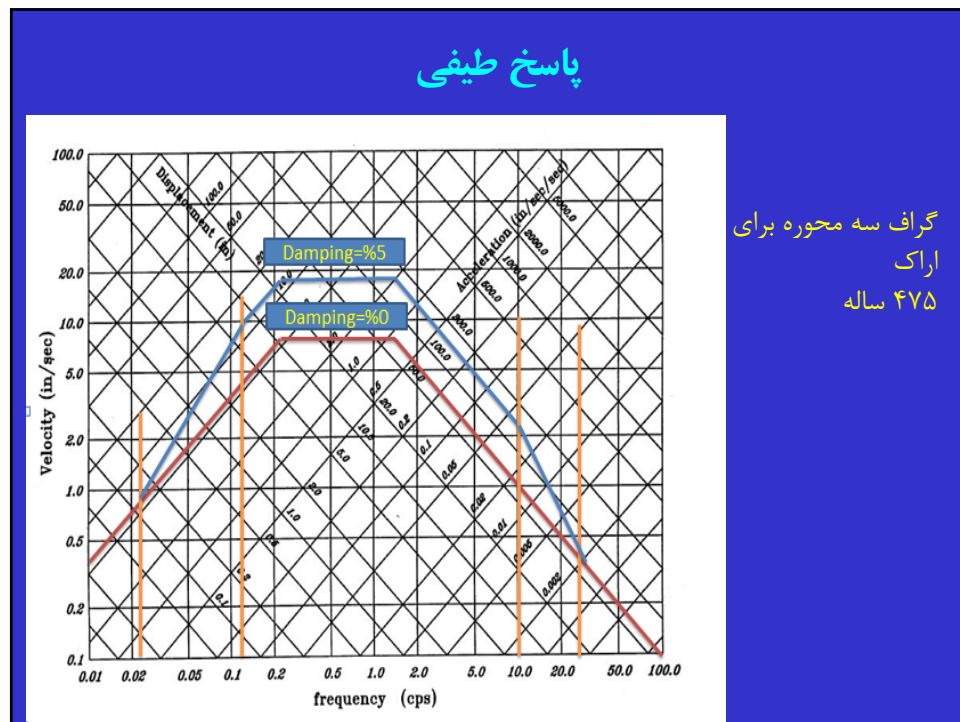
Dr. Hasan Ghasemzadeh

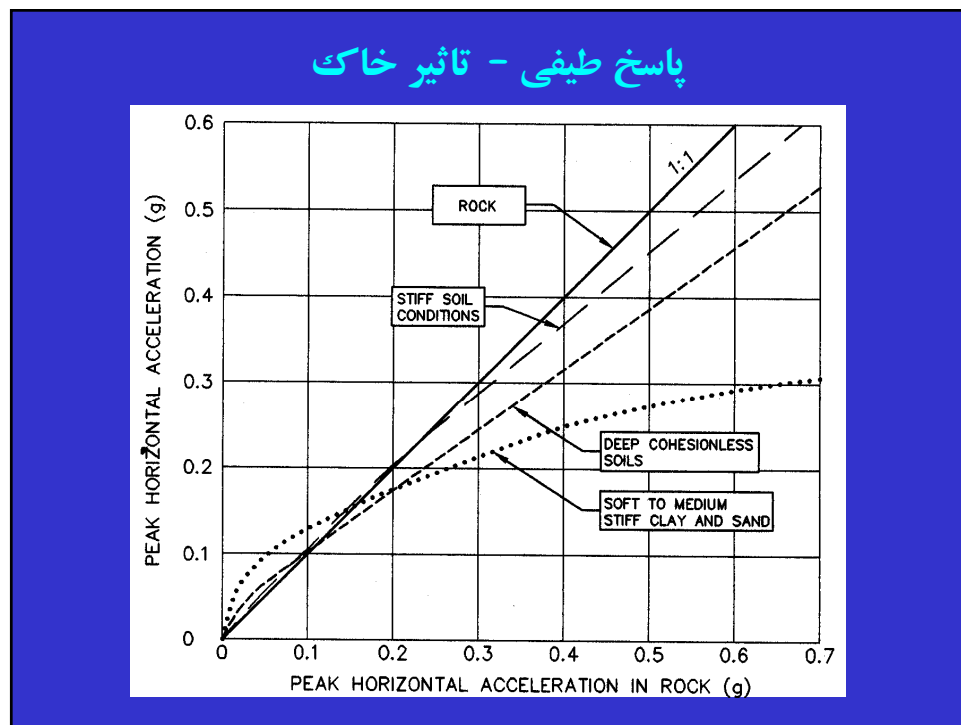
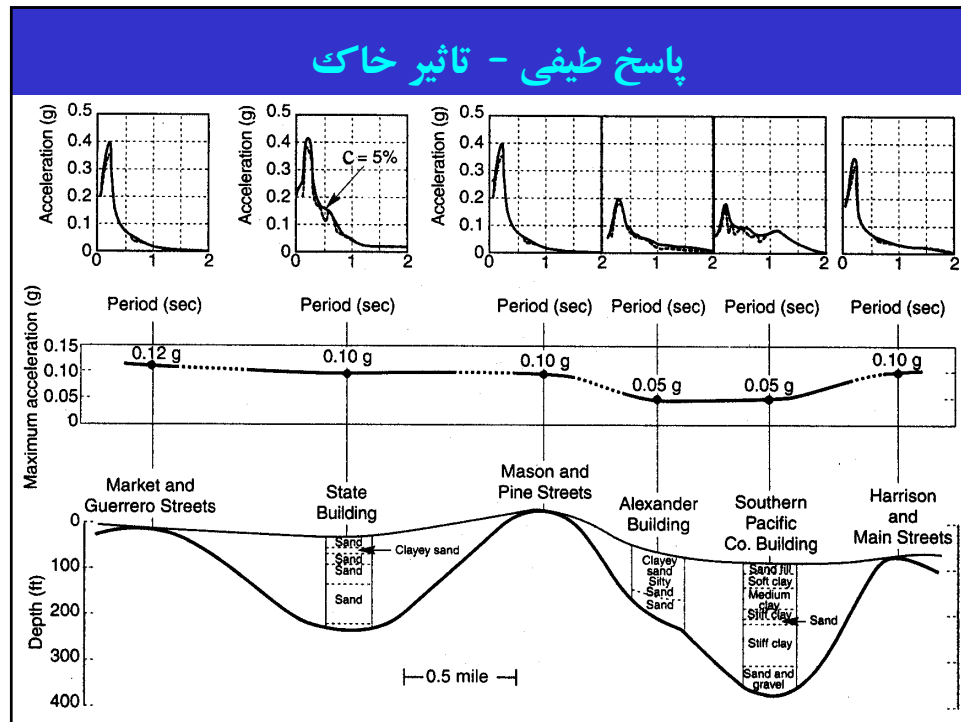
- گردآوری لرزه های اتفاق
افاده در محدوده مورد نظر
(تعیین منابع نقطه ای، خطی و
سطحی)
- تعیین گراف بزرگای لرزه و
تعداد تکرار
- تعیین رابطه کاهش شدت
لرزه بر اساس نوع گسل
- محاسبه احتمال رخداد
حرکت های بیشتر از حد
مشخص طرح در یک بازه
زمانی مشخص

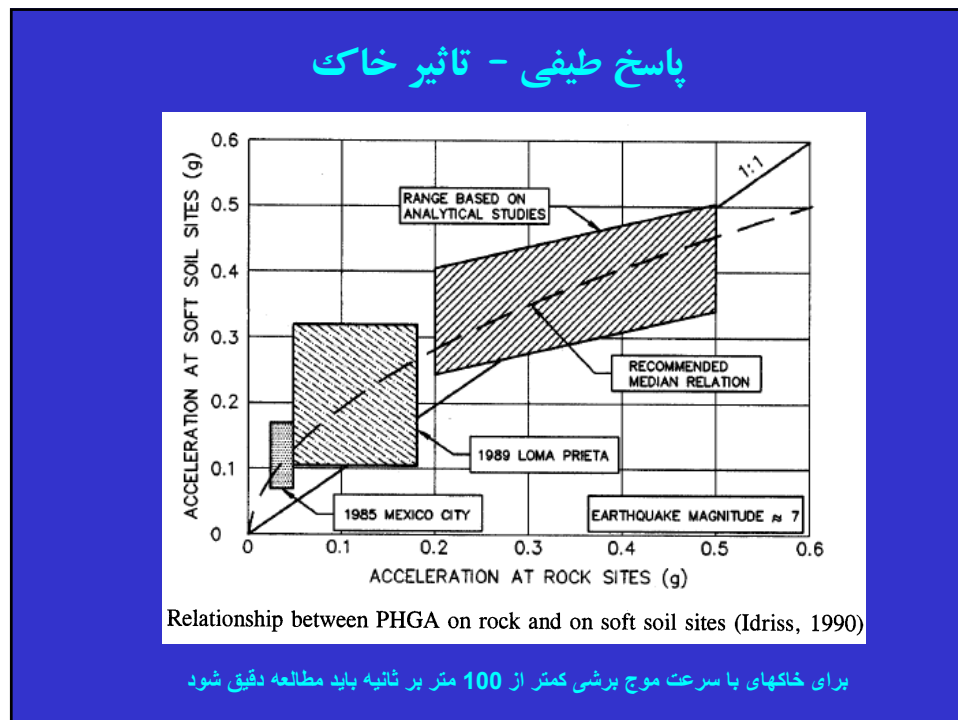












پاسخ طیفی - تاثیر خاک

نوع زمین	بارامترها			توصیف لایه‌بندی زمین
	\bar{C}_u (kPa)	$\bar{N}_{I(60)}$	\bar{v}_s (m/s)	
I	-	-	>75	سنگ و شبیه سنگ شامل سنگهای آذرین، دگرگونی و رسوبی و خاکهای سیمانه بسیار محکم با حداقل ۵ متر مصالح ضعیفتر تا سطح زمین
II	>25	>50	۳۷۵-۷۵	خاک خلیلی متراکم یا سنگ سست، شامل شن و ماسه خلیلی متراکم، رس بسیار سخت با ضخامت بیشتر از ۳۰ متر که مشخصات مکانیکی آن با افزایش عمق به تدریج بهبود یابد. سنگهای آذرین و رسوبی سست، مانند توف و یا سنگ صورق و یا کاملاً هوازده
III	۷۰-۲۵۰	۱۵-۵۰	۱۷۵-۳۷۵	خاک متراکم تا متوسط ، شامل شن و ماسه متراکم تا متوسط یا رس‌های سخت با ضخامت بیشتر از ۳۰ متر
IV	<۷۰	<۱۵	<۱۷۵	خاک متوسط تا نرم، لایه‌های خاک غیر چسبنده یا با کمی خاک چسبنده با تراکم متوسط تا کم، لایه‌های خاک کاملاً چسبنده نرم تا محکم.

